

# Teoremas de Energia

**Carlos Eduardo Nigro Mazzilli**

Guilherme Rosa Franzini

Rodrigo Provasi Correia

# Agenda

- 1) Energia de Deformação –  $U$
- 2) Exemplos – Cálculo de energia de deformação
- 3) Teorema da energia potencial total –  $\Pi$
- 4) Teorema de Lagrange-Dirichlet
- 5) Flambagem: modelo simples
- 6) Energia de deformação complementar –  $U^*$
- 7) Teorema da energia potencial total complementar –  $\Pi^*$
- 8) Segundo teorema de Castigliano
- 9) Teorema de Menabrea
- 10) Aplicações com Octave

# Energia de Deformação – U (1/4)

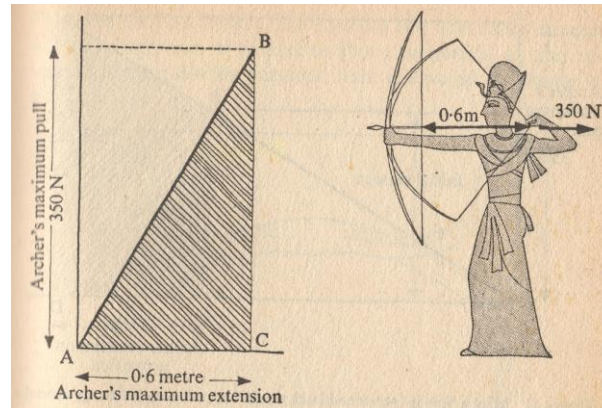
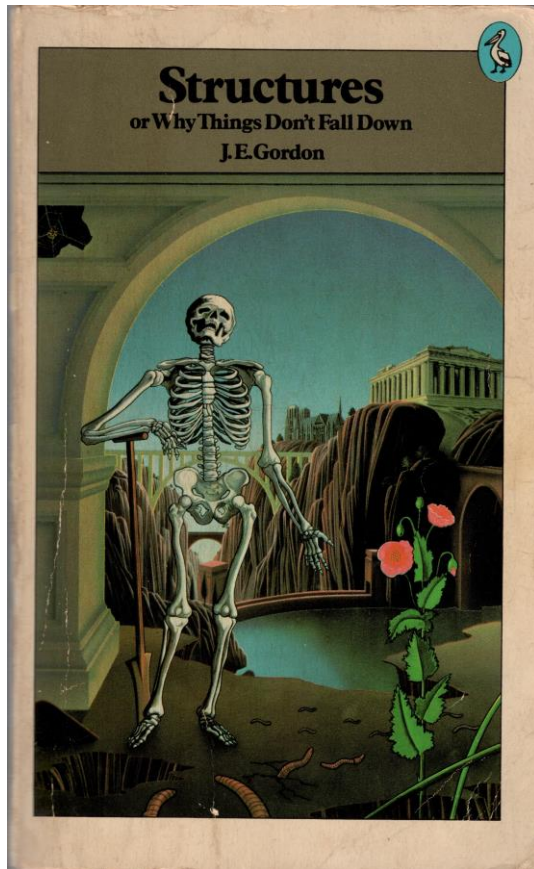


Figure 2. Energy stored in bow =  $\frac{1}{2} \times 0.6 \times 350 = 105$  Joules.\*

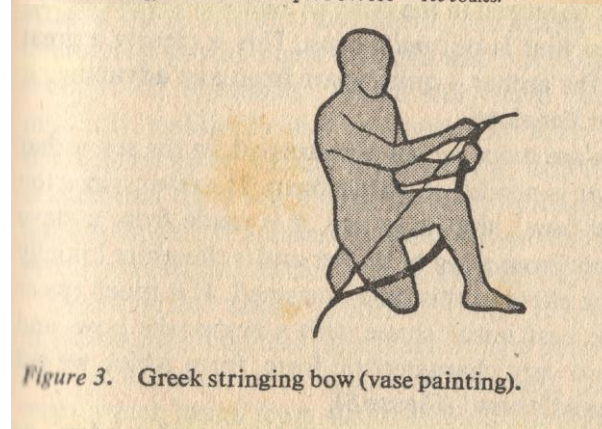


Figure 3. Greek stringing bow (vase painting).

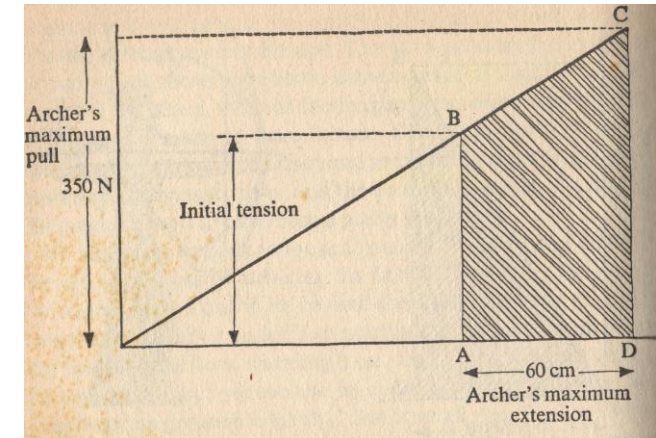


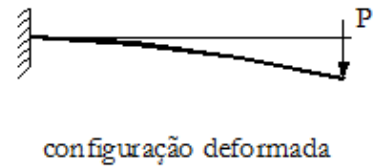
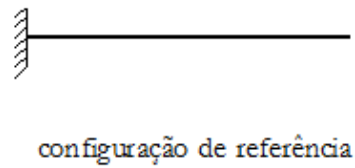
Figure 5. Composite bow, unstrung and strung.

# Energia de Deformação – U (2/4)

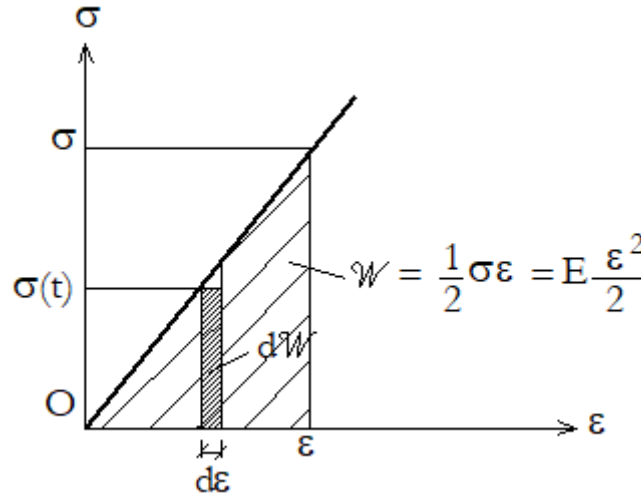
Approximate strain energy storage capacities of various solids

| Material            | Working strain<br>% | Working stress |                   | Strain energy stored<br>Joules $\times 10^6$ per<br>cubic metre | Density<br>kilograms per<br>cubic metre | Energy stored<br>Joules per<br>kilogram |
|---------------------|---------------------|----------------|-------------------|---|---|---|
|                     |                     | p.s.i.         | MN/m <sup>2</sup> |   |   |   |
| Ancient iron        | 0.03                | 10,000         | 70                | 0.01  | 7,800                                   | 1.3                                     |
| Modern spring steel | 0.3                 | 100,000        | 700               | 1.0   | 7,800                                   | 130                                     |
| Bronze              | 0.3                 | 60,000         | 400               | 0.6   | 8,700                                   | 70                                      |
| Yew wood            | 0.9                 | 18,000         | 120               | 0.5   | 600                                     | 900                                     |
| Tendon              | 8.0                 | 10,000         | 70                | 2.8   | 1,100                                   | 2,500                                   |
| Horn                | 4.0                 | 13,000         | 90                | 1.8   | 1,200                                   | 1,500                                   |
| Rubber              | 300                 | 1,000          | 7                 | 10.0  | 1,200                                   | 8,000                                   |

# Energia de Deformação – U (3/4)

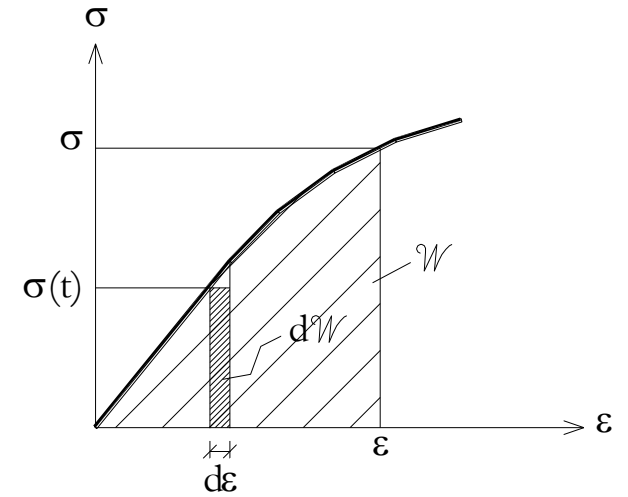


$$U = \int_V W dV$$



Elasticidade linear

$$W = E \frac{\epsilon^2}{2}$$



Elasticidade não-linear

# Energia de Deformação – U (4/4)

1) Teoria elementar de barra plana

$$\begin{aligned} U &= \frac{1}{2} \int_V \sigma \varepsilon dV = \frac{1}{2} \int_V E \varepsilon^2 dV = \frac{1}{2} \int_V E (u' - zw'')^2 dV = \frac{1}{2} \int_{est} \int_A E (u' - zw'')^2 dA dx \\ &= \frac{1}{2} \int_{est} EI_y (w'')^2 ds + \frac{1}{2} \int_{est} EA (u')^2 ds = \int_{est} \frac{M_y^2}{2EI_y} ds + \int_{est} \frac{N^2}{2EA} ds \end{aligned}$$

Dependência quadrática  
dos esforços solicitantes!

2) Teoria elementar de barra espacial

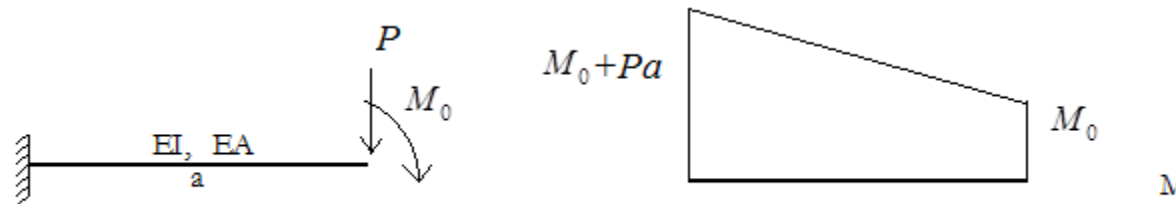
$$\begin{aligned} U &= \frac{1}{2} \int_{est} EI_y (w'')^2 ds + \frac{1}{2} \int_{est} EI_z (v'')^2 ds + \frac{1}{2} \int_{est} EA (u')^2 ds + \frac{1}{2} \int_{est} GI_T (\theta')^2 ds \\ &= \int_{est} \frac{M_y^2}{2EI_y} ds + \int_{est} \frac{M_z^2}{2EI_z} ds + \int_{est} \frac{N^2}{2EA} ds + \int_{est} \frac{T^2}{2GI_T} ds \end{aligned}$$

# Exemplos – Cálculo de energia de deformação (1/3)



$$U = \int_{est} \frac{M_y^2}{2EI_y} ds = \frac{P^2 a^3}{6EI}$$

$$U = \int_{est} \frac{M_y^2}{2EI_y} ds = \frac{M_0^2 a}{2EI}$$

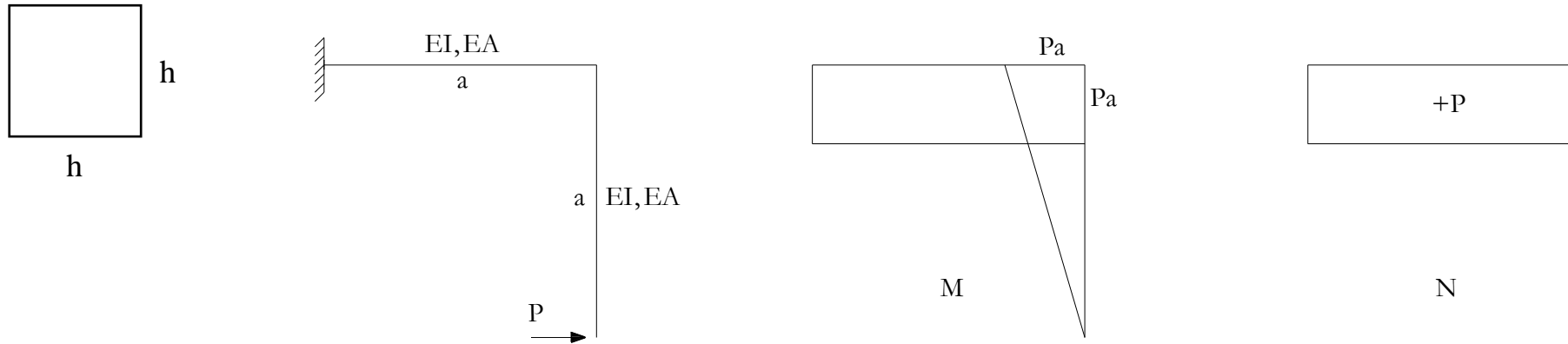


$$U = \int_{est} \frac{M_y^2}{2EI_y} ds = \frac{P^2 a^3}{6EI} + \frac{M_0^2 a}{2EI} + \boxed{\frac{M_0 P a^2}{2EI}}$$

Trabalho cruzado!

Não vale a simples  
sobreposição de efeitos!

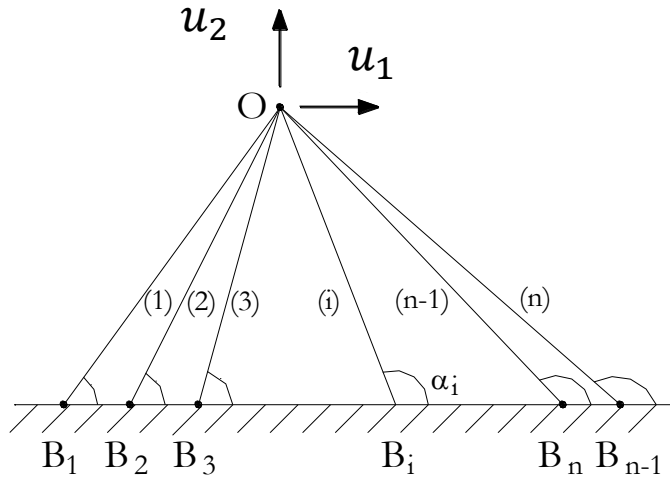
# Exemplos – Cálculo de energia de deformação (2/3)



$$U = \int_{est} \frac{M_y^2}{2EI_y} ds + \int_{est} \frac{N^2}{2EA} ds = \frac{2P^2 a^3}{3EI} + \frac{P^2 a}{2EA} = \frac{2P^2 a^3}{3EI} \left( 1 + \frac{h^2}{16a^2} \right)$$

Na presença de momento fletor, o efeito da força normal é negligenciável!

# Exemplos – Cálculo de energia de deformação (3/3)



Energia de deformação:

$$U = \int_{est} \frac{N^2}{2EA} ds = \sum_{i=1}^n \int_0^{\ell_i} \frac{N^2}{2EA} ds = \sum_{i=1}^n \frac{N_i^2 \ell_i}{2EA_i}$$

Força nas barras:

$$N_i = \frac{EA_i}{\ell_i} (u_1 \cos \alpha_i + u_2 \sin \alpha_i)$$

Assim:

$$U = \frac{1}{2} (K_{11}u_1^2 + K_{12}u_1u_2 + K_{21}u_2u_1 + K_{22}u_2^2)$$

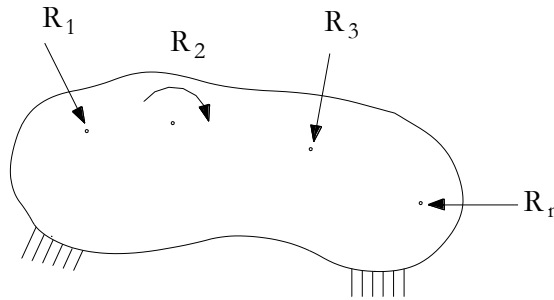
$$= \frac{1}{2} \{u\}^T [K] \{u\}$$

onde:

$$[K] = \begin{bmatrix} \sum_{i=1}^n \frac{EA_i}{\ell_i} \cos^2 \alpha_i & \sum_{i=1}^n \frac{EA_i}{\ell_i} \cos \alpha_i \sin \alpha_i \\ \sum_{i=1}^n \frac{EA_i}{\ell_i} \cos \alpha_i \sin \alpha_i & \sum_{i=1}^n \frac{EA_i}{\ell_i} \sin^2 \alpha_i \end{bmatrix}$$

# Teorema da energia potencial total – $\Pi$

“Entre todas as **soluções compatíveis**, aquela que também **é equilibrada** torna **estacionária a energia potencial total**”.



$$\Pi = U(u_i) + P(u_i) = U(u_i) - \sum_{i=1}^n R_i u_i \quad \longrightarrow \quad \frac{\partial \Pi}{\partial u_k} = \frac{\partial U}{\partial u_k} - R_k = 0 \quad \longleftrightarrow \quad [K]\{u\} = \{R\}$$

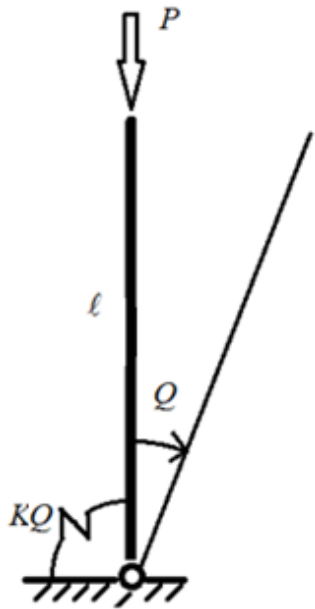
# Teorema de Lagrange-Dirichlet

“Se a **energia potencial total** for **mínima** para uma configuração de **equilíbrio**, então ela é **estável e reciprocamente**”:

$[K]$ : Positiva-definida  $\leftrightarrow$  estabilidade

# Flambagem: modelo simples (1/4)

Energia de potencial:  $\Pi = \frac{1}{2}KQ^2 - P\ell(1 - \cos Q)$

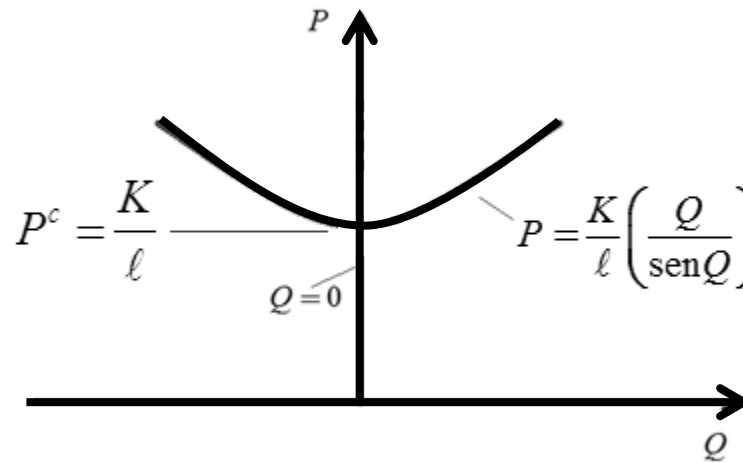


Duas trajetórias de equilíbrio:

Equilíbrio:  $\Pi_{,Q} = \frac{d\Pi}{dQ} = KQ - P\ell \sin Q = 0 \rightarrow \begin{cases} Q = 0 \\ \text{ou} \\ Q \neq 0 \text{ e } P = \frac{K}{\ell} \left( \frac{Q}{\sin Q} \right) \cong \frac{K}{\ell} \left( 1 + \frac{Q^2}{6} \right) \end{cases}$

Trajétória primária (0)

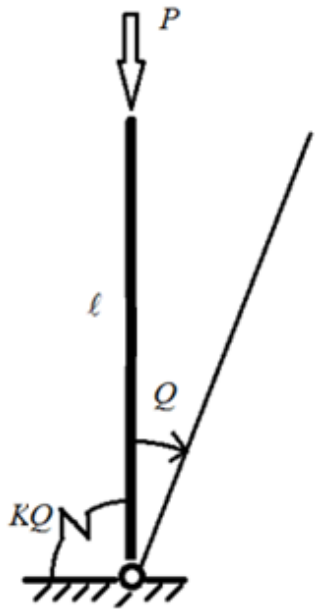
Trajétória secundária (\*)



É necessário verificar a estabilidade das trajetórias!

# Flambagem: modelo simples (2/4)

Estabilidade da trajetória primária (0):  $Q = 0$



$$\delta\Pi = \cancel{\Pi_{,Q}^0} \delta Q + \frac{1}{2!} \Pi_{,QQ}^0 \delta Q^2 + \frac{1}{3!} \Pi_{,QQQ}^0 \delta Q^3 + \frac{1}{4!} \Pi_{,QQQQ}^0 \delta Q^4 + \dots$$

$$\Pi_{,QQ}^0 = K - P\ell; \quad \Pi_{,QQQ}^0 = 0; \quad \Pi_{,QQQQ}^0 = P\ell$$

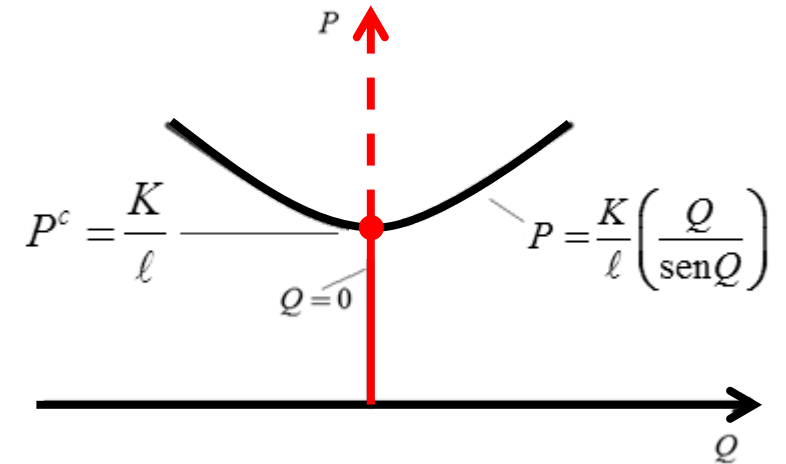
Discussão:

Se:  $P < \frac{K}{\ell} \rightarrow \Pi_{,QQ}^0 > 0 \rightarrow Q = 0$  é estável

Se:  $P > \frac{K}{\ell} \rightarrow \Pi_{,QQ}^0 < 0 \rightarrow Q = 0$  é instável

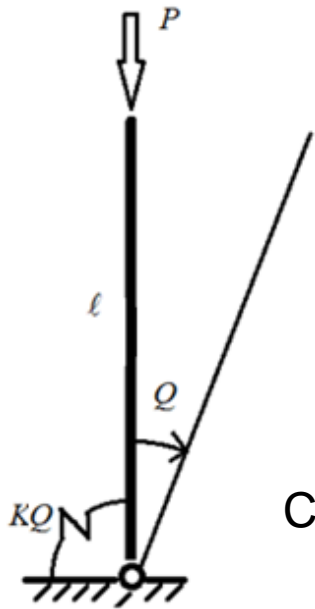
Se:  $P = \frac{K}{\ell} \rightarrow \Pi_{,QQ}^0 = 0; \Pi_{,QQQ}^0 = 0; \Pi_{,QQQQ}^0 > 0 \rightarrow Q = 0$  é estável

Estudar o sinal



# Flambagem: modelo simples (3/4)

Estabilidade da trajetória secundária (\*):  $Q \neq 0$  e  $P = \frac{K}{\ell} \left( \frac{Q}{\sin Q} \right) \cong \frac{K}{\ell} \left( 1 + \frac{Q^2}{6} \right)$

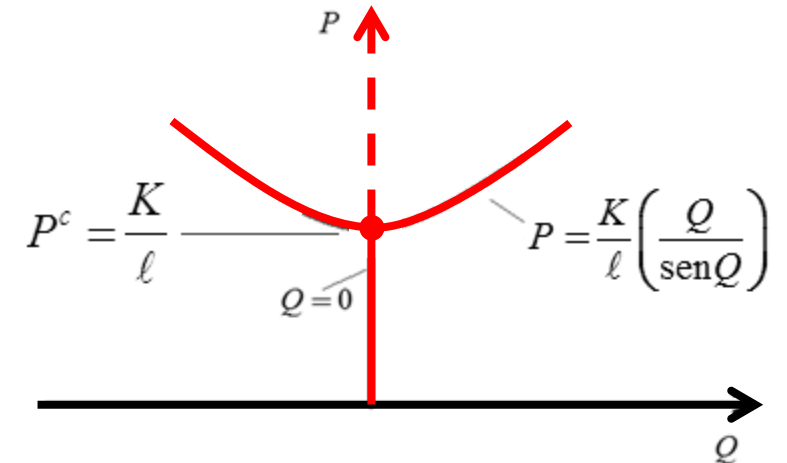


$$\delta\Pi = \cancel{\Pi_{,Q}^*} \delta Q + \frac{1}{2!} \Pi_{,QQ}^* \delta Q^2 + \frac{1}{3!} \Pi_{,QQQ}^* \delta Q^3 + \frac{1}{4!} \Pi_{,QQQQ}^* \delta Q^4 + \dots$$

$$\Pi_{,QQ}^* = K - P\ell \cos Q = K \left[ 1 - \frac{Q}{\tan Q} \right] > 0$$

Como  $Q \neq 0$  e  $\Pi_{,QQ}^* > 0 \rightarrow$  Trajetória secundária (\*) **é estável**

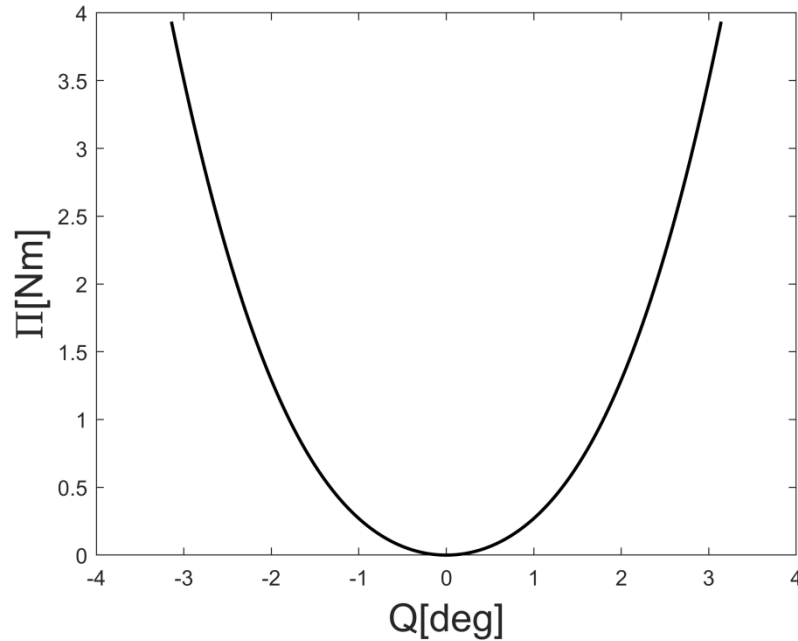
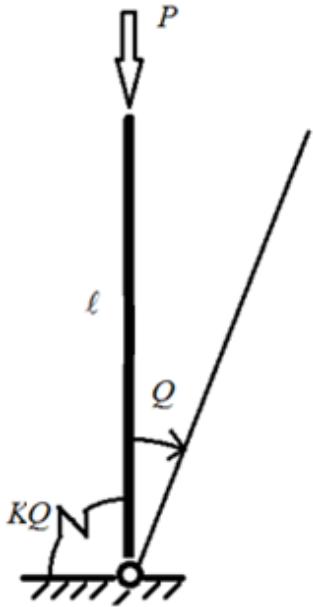
Estudar o sinal



# Flambagem: modelo simples (4/4)

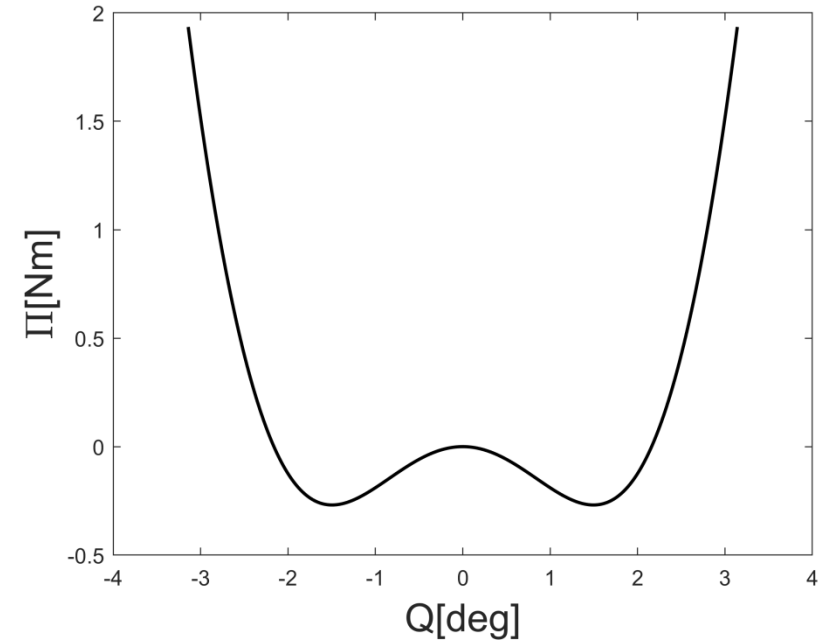
Traçar função energia potencial total para:

Energia de potencial:  $\Pi = \frac{1}{2}KQ^2 - P\ell(1 - \cos Q)$



$K = 1; l = 1.$

$$P = \frac{1}{2} \left( \frac{K}{\ell} \right) < P^C$$



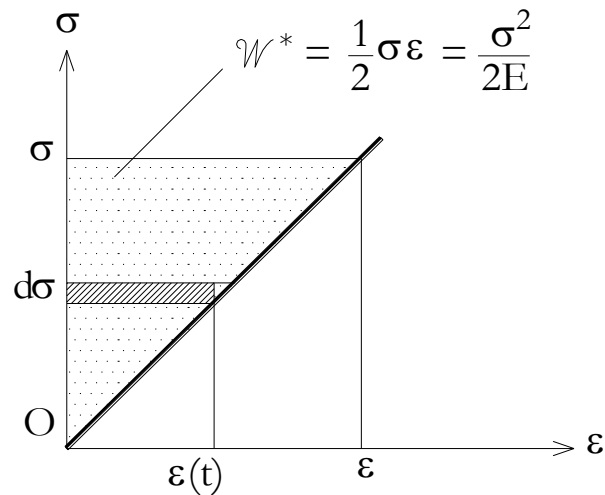
$$P = \frac{3}{2} \left( \frac{K}{\ell} \right) > P^C$$

# Energia de deformação complementar – $U^*$

$$U^* = T_{\text{int}}^*$$

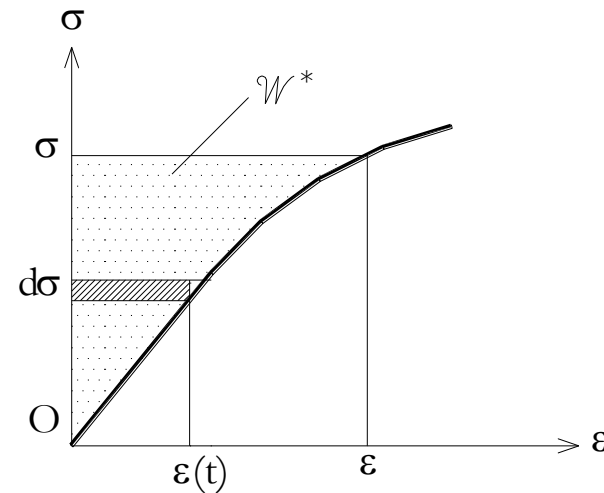
$$U^* = \int_V W^* dV$$

$$U^* + U = \int_V \sigma \epsilon dV$$



Elasticidade linear

$$W^* = \int_0^\sigma \epsilon d\sigma$$

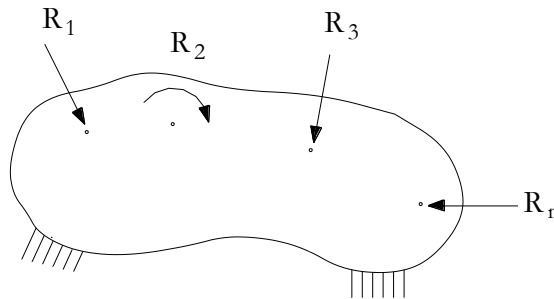


Elasticidade não-linear

$w^* = w$  Material elástico linear:

# Teorema da energia potencial total complementar $\Pi^*$

“Entre todas as **soluções equilibradas**, aquela que também é **compatível** torna **estacionária a energia potencial total complementar**”.

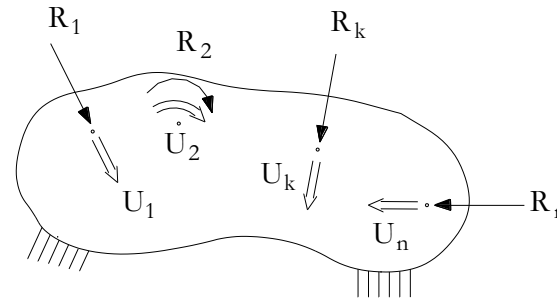


$$\Pi^* = U^*(R_i) + P^*(R_i) = U^*(R_i) - \sum_{i=1}^n R_i \hat{u}_i \quad \longrightarrow \quad \frac{\partial \Pi^*}{\partial R_k} = \frac{\partial U^*}{\partial R_k} - \hat{u}_k = 0$$

em  $S_u$

# Segundo teorema de Castigliano

“Para sistemas elásticos lineares, se a energia de deformação for expressa em função de esforços concentrados independentes entre si, então a sua derivada parcial em relação a um desses esforços é igual ao deslocamento correspondente”

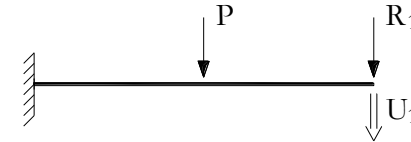
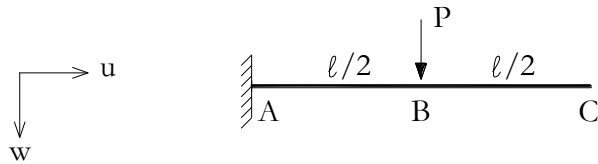


$$U^* = U \quad \Rightarrow \quad \frac{\partial U}{\partial R_k} = u_k$$

# Cálculo de deslocamentos estrutura isostática (1/2)

Calcular o deslocamento vertical do ponto C

Aplicação de esforço  $R_1$  no ponto C:



Esforço correspondente ao deslocamento que se quer calcular!

Momento fletor solicitante:

$$M^e = M + R_1 \bar{M}_1$$

$M$ : diagrama de momentos real

$\bar{M}_1$ : diagrama de momentos para  $R_1 = 1$

Energia de deformação:

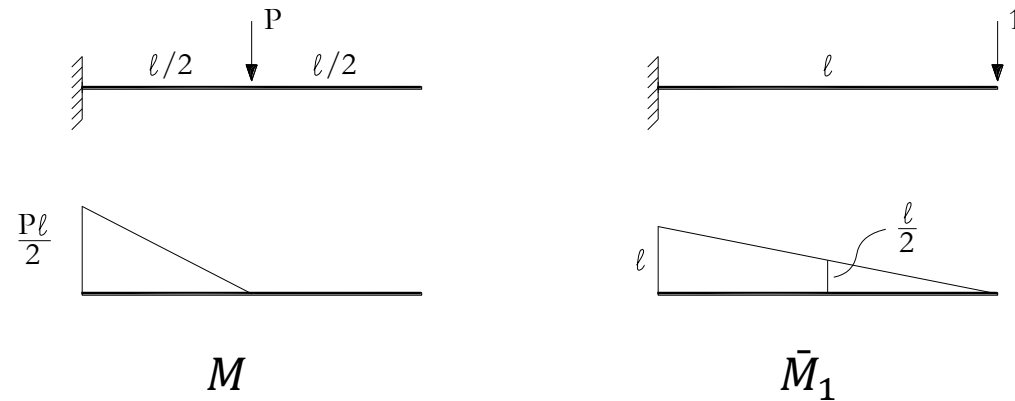
$$U = \int_0^l \frac{M^e{}^2}{2EI} dx$$

Segundo teorema de Castigliano  $\rightarrow \left. \frac{\partial U(P, R_1)}{\partial R_1} \right|_{R_1=0} = \frac{\partial U}{\partial R_1}(P, 0) = u_1$

# Cálculo de deslocamentos estrutura isostática (2/2)

Daí,

$$u_1 = \frac{\partial U}{\partial R_1} = \int_0^{\ell} \frac{M^e}{EI} \frac{\partial M^e}{\partial R_1} dx \quad \text{com:} \quad M^e = M + R_1 \bar{M}_1 \Rightarrow \begin{cases} \frac{\partial M^e}{\partial R_1} = \bar{M}_1 \\ (M)_{R_1=0} = M \end{cases}$$



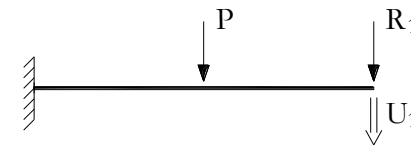
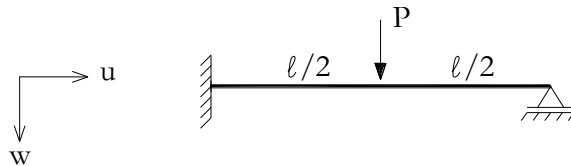
Assim:

$$u_1 = \frac{\partial U}{\partial R_1} (P, 0) = \int_0^{\ell} \frac{M^e}{EI} \frac{\partial M^e}{\partial R_1} dx = \int_0^{\ell} \frac{M \bar{M}_1}{EI} dx = \frac{5P\ell^3}{48EI}$$

# Teorema de Menabrea (1/3)

Resolver a estrutura hiperestática

EIF e aplicação de esforço  $R_1$  no ponto C:



$$R_1 = X_1$$

Incógnita hiperestática

Momento fletor solicitante:

$$M^e = M_0 + X_1 \bar{M}_1$$

$$U = \int_0^l \frac{M^{e2}}{2EI} dx$$

Segundo teorema de Castigliano  $\rightarrow \frac{\partial U}{\partial X_1}(P, X_1) = u_1$

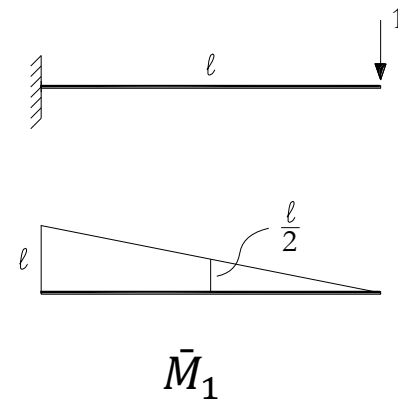
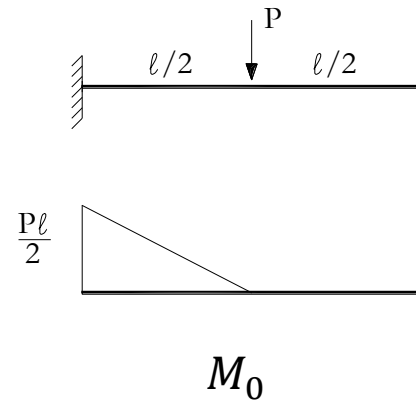
Para o caso de deslocamento nulo  $u_1 = 0 \rightarrow \frac{\partial U}{\partial X_1}(P, X_1) = 0$

Teorema de Menabrea

# Teorema de Menabrea (2/3)

Daí,

$$\frac{\partial U}{\partial X_1}(P, X_1) = \int_0^{\ell} \frac{M^e}{EI} \frac{\partial M^e}{\partial X_1} dx = 0 \quad \text{com:} \quad M^e = M_0 + X_1 \bar{M}_1 \quad \Rightarrow \quad \begin{cases} \frac{\partial M^e}{\partial X_1} = \bar{M}_1 \\ M = M_0 + X_1 \bar{M}_1 \end{cases}$$



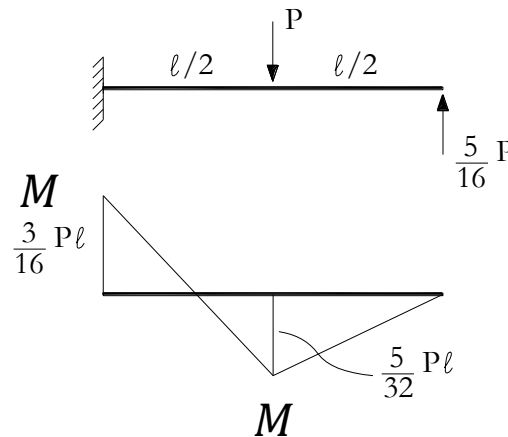
# Teorema de Menabrea (3/3)

Daí,

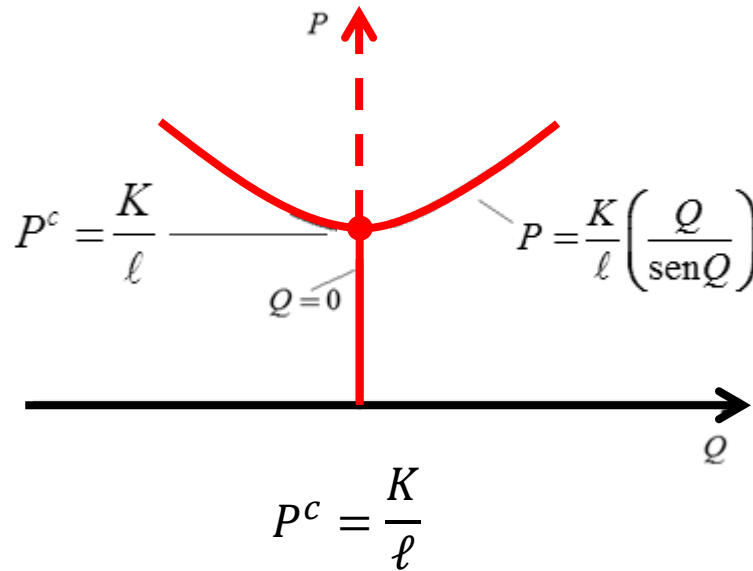
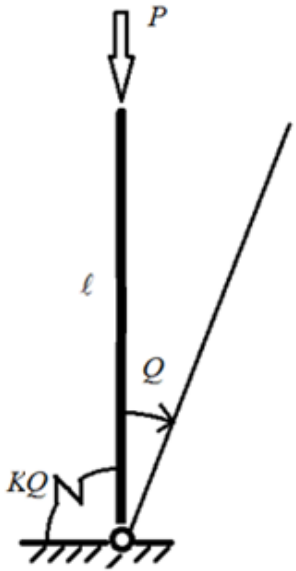
$$\frac{\partial U^*}{\partial X_1}(P, X_1) = \int_0^\ell \frac{M\bar{M}_1}{EI} dx = \int_0^\ell \frac{(M_0 + X_1\bar{M}_1)\bar{M}_1}{EI} dx = u_1 = 0$$

$$\int_0^\ell \frac{M_0\bar{M}_1}{EI} dx + X_1 \int_0^\ell \frac{\bar{M}_1\bar{M}_1}{EI} dx = 0 \quad \rightarrow \quad X_1 = -\frac{\int_0^\ell \frac{M_0\bar{M}_1}{EI} dx}{\int_0^\ell \frac{\bar{M}_1\bar{M}_1}{EI} dx} = -\frac{5}{16}P$$

Assim:



# Exercício 1 – Energia Potencial



Dados:

- $k = 1 \text{ N.m/rad}$
- $l = 1 \text{ m}$

- Energia Potencial:

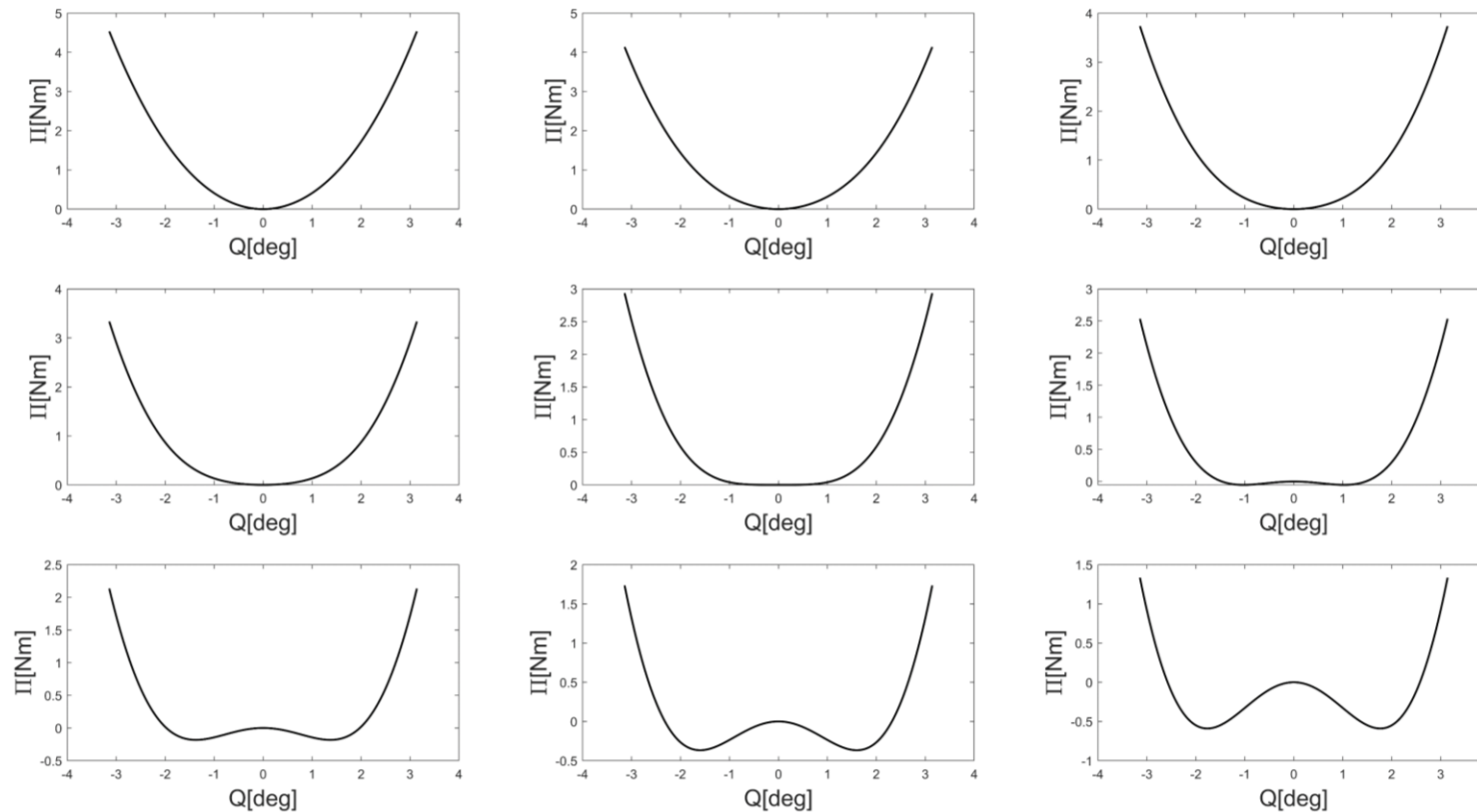
$$\Pi = \frac{1}{2} K Q^2 - P \ell (1 - \cos Q)$$

Construa uma rotina que calcule a Energia Potencial ( $\Pi$ ), para cada um dos casos abaixo, mostrando também o gráfico  $\Pi(Q) \times Q$ :

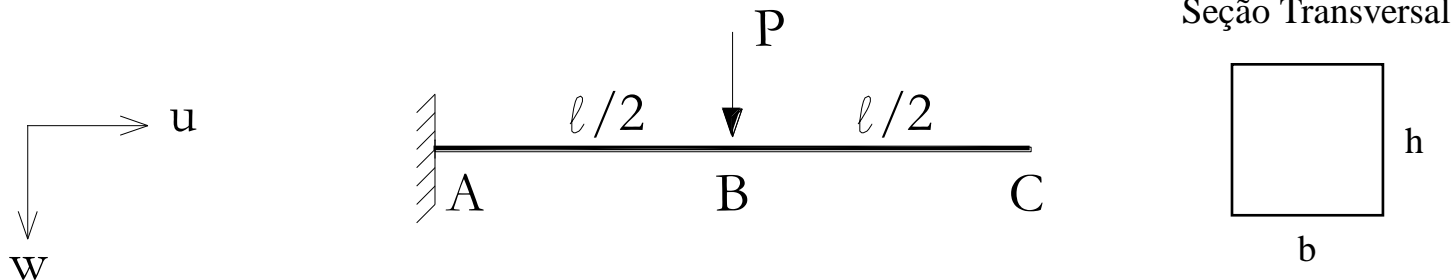
- $P_a = 0.8 * P^c$
- $P_b = P^c$
- $P_c = 1.2 * P^c$

# Exercício 1 – Energia Potencial - Desafio

**Desafio:** Gerar um script que é capaz de produzir uma única figura com 9 cenários de valores de carga  $P$ , com o menor número de linhas de Código.



# Exercício 2 – Deslocamento em Estrutura Isostática



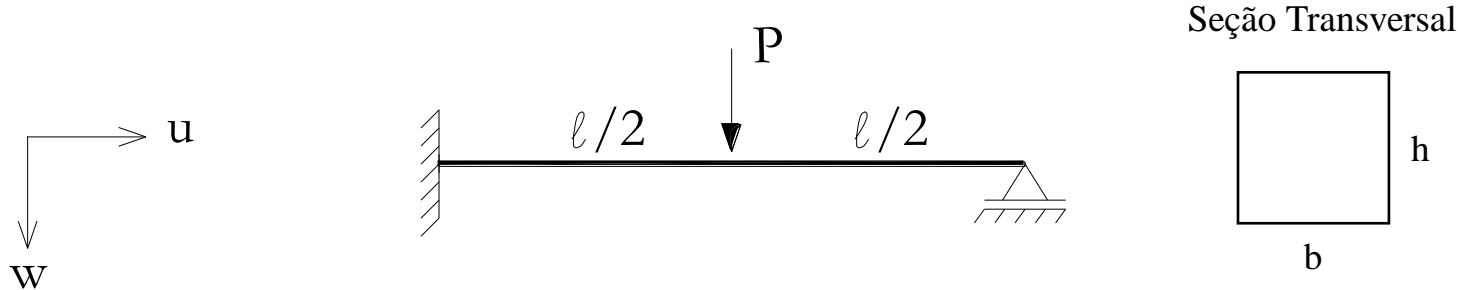
Dados:

- $\ell = 1 \text{ m}$
- $b = h = 10 \text{ mm}$
- $E = 210 \text{ GPa}$
- $P = 1 \text{ N}$
- Resultado analítico:

$$v_c = + \frac{5 P \ell^3}{48 EI}$$

- Construa uma rotina que permita calcular, via Teorema de Castigliano, o deslocamento vertical no ponto C, calculando numericamente o valor das integrais
- Compare o erro relativo entre os resultados numérico e analítico para diferentes refinamentos no eixo  $x$  (por ex. 100 elementos X 1000 elementos)

# Exercício 3 – Deslocamento em Estrutura Hiperestática



Dados:

- $l = 1 \text{ m}$
- $b = h = 10 \text{ mm}$
- $E = 210 \text{ GPa}$
- $P = 1 \text{ N}$
- Resultado analítico:

$$v_c = -\frac{5}{16}P$$

- Construa uma rotina que permita calcular, via Teorema de Menabrea, o valor da reação vertical no apoio simples, calculando numericamente o valor das integrais
- Compare o erro relativo entre os resultados numérico e analítico para diferentes refinamentos no eixo  $x$  (por ex. 100 elementos X 1000 elementos)
- Construa o diagrama de momentos fletores